

New Species of Cecidomyiidae Flies (Diptera) from Carpathian and Transcarpathian Area. Communication 2. Genus *Peromyia*. Mamaev B. M., Berest Z. L.—Vestn. zool., 1990, N 5.—Seven *Peromyia* species from Rakhov, Khust and Kvasov are described as new. Type material is deposited in collections of the Zoological Museum, Moscow University.

УДК 569.362:551.782.2

А. В. Пашков, В. А. Топачевский

# НОВЫЕ ПРЕДСТАВИТЕЛИ РОДА DESMANA (INSECTIVORA, TALPIDAE) ИЗ ПОЗДНЕПЛИОЦЕНОВЫХ ОТЛОЖЕНИЙ ЦЕНТРАЛЬНОЙ ЕВРОПЫ И ЮГО-ЗАПАДА ЕВРОПЕЙСКОЙ ЧАСТИ СССР

Публикуемая статья представляет собой продолжение помещенной в № 1 «Вестника зоологии» за 1990 г. Она включает описание новых видовых форм, входящих в состав подродов *Pliodesmana* Topachevsky et Paschkov, 1983 и *Galemodesmana* Topachevsky et Paschkov, 1983, остатки которых обнаружены за последнее время на территории юга европейской части СССР и в Центральной Европе в позднеплиоценовых отложениях, приуроченных к ханпровскому времени. Представители первого упомянутого подрода объединены благодаря обратным по сравнению с другими *Desmana* соотносительными размерами  $P_2$  и  $P_4$ , представители второго — благодаря галемисным чертам в строении восходящей ветви нижней челюсти, а также ряду других архаичных признаков, приведенных в работе авторов 1983 г.

В состав этих подродов, помимо описываемых форм, входят также несколько западноевропейских видов из геологически синхронных отложений, сравнение с которыми в случае необходимости будет проведено при описании.

ОТРЯД INSECTIVORA BOWDICH, 1821  
СЕМЕЙСТВО TALPIDAE FISCHER VON WALDHEIM, 1817  
ПОДСЕМЕЙСТВО DESMANINAE, THOMAS, 1912  
РОД DESMANA GÜLDENSTAEDT, 1777  
ПОДРОД PLIODESMANA TOPACHEVSKY ET PASCHKOV, 1983

## *Desmana (Pliodesmana) jalpugensis* sp. n. (рис. 1, 2)

Голотип. Почти полностью сохранившаяся нижняя челюсть с  $P_4$  (рис. 1); завершающая фаза позднего плиоцена, местонахождение Котловина, западный берег озера Ялпуг, средний и верхний костеносные горизонты. Место хранения — коллекция отдела палеозоологии позвоночных и палеонтологический музей Института зоологии им. И. И. Шмальгаузена АН УССР.

Дополнительный материал. Фрагмент лицевой части черепа с  $P^2-M^1$  и альвеолами  $M^2-M^3$ , фрагмент лицевой части черепа с  $P^2$ ,  $P^4-M^1$  и альвеолами  $P^3$ , фрагмент лицевой части черепа с альвеолами  $C-P^4$ , изолированные зубы:  $I^1-2$ ,  $P^2-2$ ,  $P^3-1$ ,  $P^4-6$ ,  $M^1-7$ ,  $M^2-13$ , горизонтальная ветвь нижней челюсти с  $M_1$  и альвеолами  $P_1-P_4$ ,  $M_2$ ,  $M_3$ , десять фрагментов горизонтальной ветви нижней челюсти без зубов, изолированные:  $P_1-1$ ,  $P_2-1$ ,  $P_4-1$ ,  $M_1-10$ ,  $M_2-10$ ,  $M_3-5$ , а также поврежденные в различной степени элементы посткраниального скелета, среди которых в первую очередь следует отметить три плечевые кости и одну бедренную. Местонахождение и место хранения то же, что и голотипа.

Диагноз.  $P_4$  с хорошо развитым талонидом, мощным энтоконидом, полностью обособленным от заднего воротничка (рис. 2, 1).

Описание.  $I^1$  десманного типа (с резко выраженным изгибом коронки в сагиттальной плоскости). Однако внутренний гребень жева-

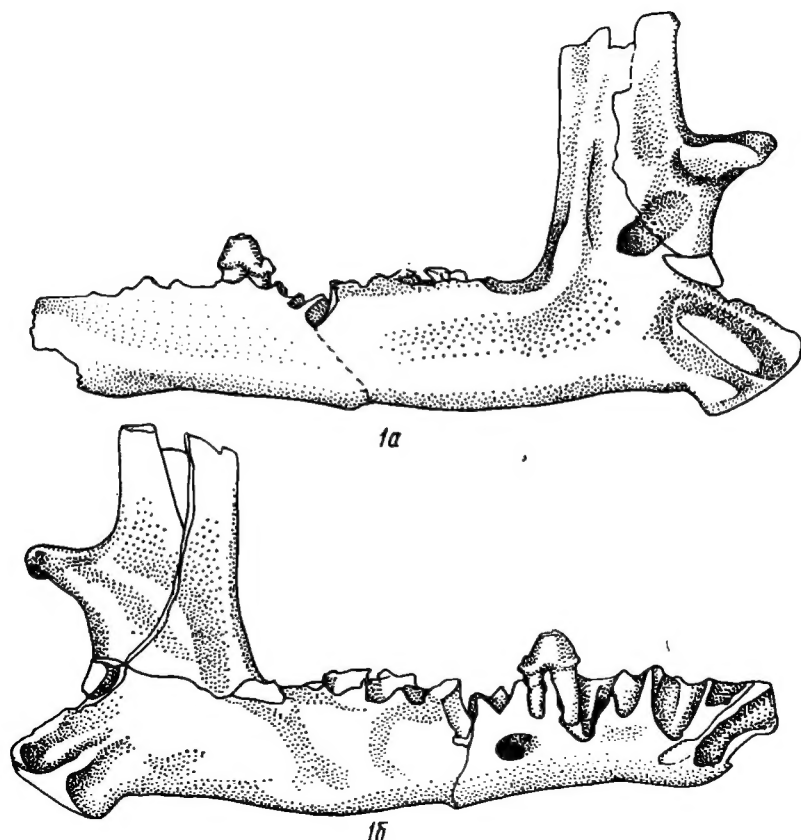


Рис. 1. *Desmana (Pliodesmana) jalpugensis* sp. n., нижняя челюсть с  $P_4$ , голотип (Котловина):

а — лингвальная сторона; б — лабиальная сторона.

тельной поверхности — рудимент диболойной дополнительной лопасти у вершины коронки сильнее выражен, чем у всех известных представителей номинативного подрода и *Praedesmana*. В связи с этим жевательная поверхность зуба в своей привершинной части сильно вогнута. Клык, вероятно, сравнительно крупный. Судя по промерам альвеолы, его длина не меньше таковой  $P^2$ .  $P^1$  с одним корнем — по крайней мере какие-либо следы его раздвоения в альвеоле не выражены (рис. 2, 3).  $P^2$  всегда трехкорневой с хорошо выраженным протоконным вздутием основания коронки (рис. 2, 4). Воротничок позади протоконного вздутия трансформирован в сплошной гребень, получивший более сильное развитие, чем у представителей *Praedesmana*, у которых он обычно прерванный (рис. 2, 4а). Абсолютные размеры зуба довольно велики — его длина не уступает таковой у некоторых представителей подрода *Praedesmana* — *Desmana meridionalis*.  $P^3$  всегда трехкорневой (рис. 2, 5б). По всей вероятности, относительно крупный — отношение его длины к таковой  $P^2$  составляет 81,9 %. Коронка имеет приближающиеся к ромбическому очертания, хорошо развитое вздутие основания в зоне протокона, наличие четко выраженных следов последнего, а в отдельных случаях и хорошо развитого воротничкового гребня в области метакона (рис. 2, 5а).  $P^4$  по абсолютным размерам относительно крупный, приближаясь по этому показателю к одноименным зубам представителей подрода *Praedesmana*. Кроме того, он относительно узкий, что свидетельствует об умеренном развитии протокона (табл. 2), вершина которого, как правило, распола-

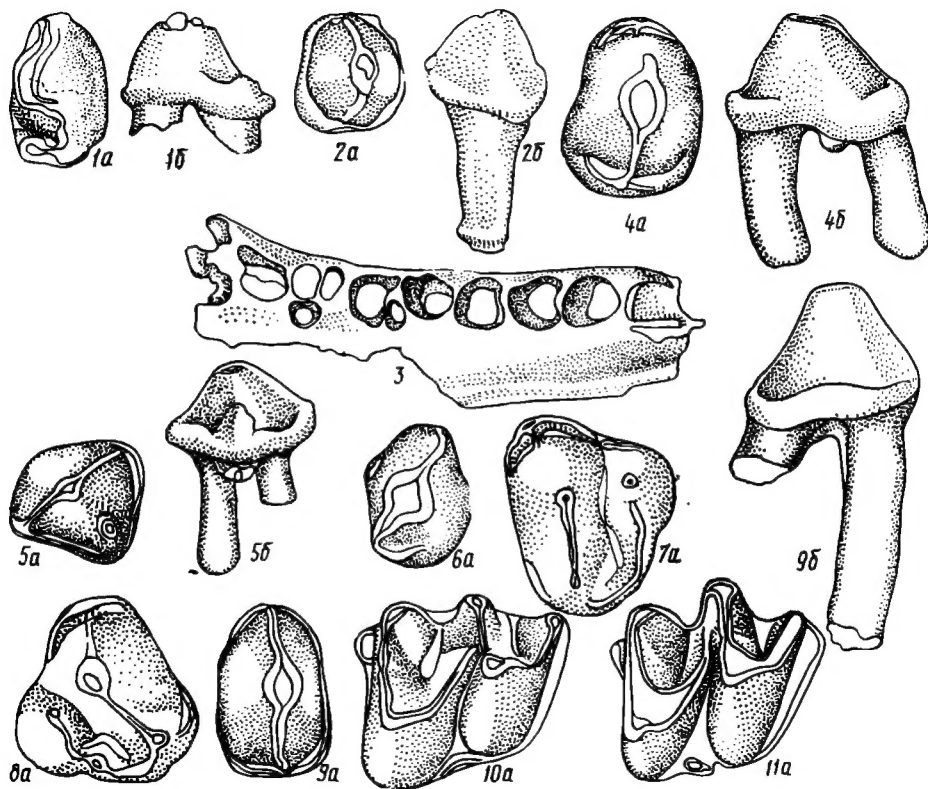


Рис. 2. *Desmana (Pliodesmana) jalpugensis* sp. n. (Котловина):

1 —  $P_4$ ; 2 —  $P_1$ ; 3 — фрагмент лицевой части черепа с альвеолами  $C-P_3$  со стороны жевательной поверхности; 4 —  $P_2$ ; 5, 6 — разные экземпляры  $P_3$ ; 7, 8 — разные экземпляры  $P_4$ ; 9 —  $P_2$ ; 10 —  $M_1$ ; 11 —  $M_2$ ; а — жевательная поверхность; б — лингвальная сторона.

гается на уровне таковой паракона, хотя в отдельных случаях может проявлять тенденцию к смещению назад по отношению к последней (рис. 2, 7). По степени дифференциации и положению метакона напоминает одноименные премолары геологически наиболее поздних восточно-европейских *Praedesmiana*, в частности *D. gureevi*: он хорошо дифференцирован относительно укороченного заднего гребня паракона, преимущественно округлый в очертаниях, располагается, как правило, в одной плоскости с гребнем, реже проявляет тенденцию к смещению в лабиальную сторону, внутренняя стенка режущего стила преимущественно спрямлена (рис. 2, 7). Степень развития парастилия варьирует от значительной до умеренной. Гипокон представлен в виде небольшого бугорка, либо вздутая края коронки позади протокона, но может и отсутствовать (рис. 2, 7). Следовательно, здесь в характере моляризации  $P_4$  просматриваются некоторые черты древнего мощатного типа строения. Однако, судя по сохранившемуся основанию костного мостика над *for. infraorbitale*, последний был относительно широким и, как у представителей *Praedesmiana*, располагался почти вертикально. Нижняя челюсть, как уже отмечалось выше, десманного типа: угловой отросток с двумя гребнями на внутренней поверхности, короткое основание восходящей ветви и, соответственно, основание венечного отростка, высокое положение сочленовного отростка и нижнечелюстного отверстия, короткий сочленовный отросток, почти вертикальное положение переднего края восходящей ветви по отношению к альвеолярному и наклон несколько назад заднего края венечного отростка по отношению к верхнему краю сочленовного и др.  $P_1$  по абсолютным размерам очень крупный и имеет один корень

(рис. 2, 2б). Его длина заметно превышает ширину (табл. 2).  $P_2$  очень крупный (табл. 2), превосходит таковые даже восточноевропейских *Praedermana*, со слабо намеченными элементами талонида (рис. 2, 9). Как и на  $P_4$  имеются следы параконидного расширения (рис. 2, 9). Метаконидное ребро на  $P_4$  отсутствует, в связи с чем задняя стенка протокониды в своей лингвальной части не вогнута. Коронка зуба относительно очень узкая (табл. 2). Наружный воротничок на  $M_1-M_2$  всегда заходит в область флексида между протоконидом и гипоконидом, часто образуя здесь зачатки дополнительного бугорка (рис. 2, 10, 11).

**С р а в н е н и е.** Будет проведено далее, по мере описания следующего вида, отнесенного к данному подроду.

**З а м е ч а н и я.** Форма характеризуется высоким уровнем эволюционной продвинутости по признакам, свойственным номинативному подроду, достигая уровня последнего по соотносительным размерам  $P^2$  и  $S$ , типу и степени моляризации  $P^4$ . Однако по соотносительным размерам  $P_2$  и  $P_4$  явно несет черты переспециализации, что заставляет рассматривать ее в качестве вымершей слепой ветви, параллельной основному стволу эволюции рода. Любопытно, что по степени эволюционной продвинутости описываемая форма приближается, а по отдельным признакам превосходит примерно одновозрастную ей *D. tegelensis* Schreuder, 1940. По всей вероятности, это является отражением их параллельного развития — последней — в условиях значительной увлажненности климата, свойственной в это время западу европейского континента, а первой — в условиях аридной зоны северо-западного Причерноморья СССР. Однако близость по степени продвинутости на сходном стратиграфическом уровне достаточно очевидна.

**Г е о л о г и ч е с к о е и г е о г р а ф и ч е с к о е р а с п р о с т р а н е н и е.** Завершающая фаза позднего плиоцена крайнего юго-запада европейской части СССР; приурочена к наиболее поздним ассоциациям мелких млекопитающих хазровского фаунистического комплекса — среднекотловинской вилланийно-плиомисно-спалащидной и верхнекотловинской вилланийной.

### *Desmana (Pliodesmana) moldavica* sp. n. (рис. 3)

**Г о л о т и п.** Фрагмент горизонтальной ветви нижней челюсти с  $P_2$  и  $P_4$  (рис. 3, 1); поздний плиоцен, местонахождение Надежда, Молдавская ССР; место хранения — отдел палеозоологии Института зоологии и физиологии АН Молдавской ССР.

**Д и а г н о з.** Размеры более крупные, чем у предыдущего вида (табл. 1). Талонид  $P_4$  недоразвит — энтоконид на начальных стадиях стертости почти полностью поглощен задним воротничком (рис. 3, 3).

**О п и с а н и е.** По абсолютным размерам  $P_2$  близка к *D. jalpugensis*, значительно превосходя последнюю по абсолютным размерам  $P_4$  (табл. 2). Коронка этого зуба несколько расширенная (табл. 2). Какие-либо следы параконидного вздутия на  $P_2$  и  $P_4$  отсутствуют (рис. 3, 2, 3).

**С р а в н е н и е.** От предыдущего вида четко отличается недоразви-

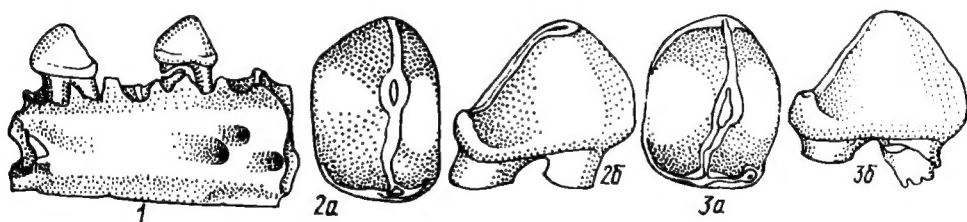


Рис. 3. *Desmana (Pliodesmana) moldavica* sp. n. (Надежда, МССР):

1 — голотип, горизонтальная ветвь нижней челюсти с  $P_2$  и  $P_4$  с лабиальной стороны; 2 —  $P_2$ ; 3 —  $P_4$ ; а — жевательная поверхность; б — лингвальная сторона.

Таблица 1. Промеры и индексы нижней челюсти представителей подродов *Pliodesmana* и *Galemodesmana*

Промеры, мм	<i>D. jalpugensis</i>			<i>D. moldavica</i>	<i>D. nehringi</i>		
	n	Lim	M		n	Lim	M
1. Альвеолярная длина $P_1-M_3$		15,1				13,8; 14,4	
2. Альвеолярная длина $P_1-P_4$	2	6,5; 7,0		7,5			
3. Альвеолярная длина $M_1-M_3$	3	8,1—9,0	8,53		7	7,4—8,3	7,83
4. Высота челюсти за $C$	3	4,0—4,6	4,40	3,8	3	3,0—3,5	3,27
5. Высота челюсти за $P_2$	6	4,0—4,5	4,25	4,5	6	3,4—4,0	3,70
6. Высота челюсти за $P_4$	6	4,0—4,4	4,20	4,8	7	3,3—4,4	3,83
7. Высота челюсти за $M_1$	5	4,0—4,7	4,32		8	3,5—4,2	4,01
8. Высота челюсти за $M_3$	6	4,3—4,7	4,50		10	3,55—4,2	4,00
Индексы, %							
1:3		186,4				186,5; 187,0	
2:3		86,4					
4:3		49,4				40,5; 42,9	
5:3		49,4; 50,0			5	45,8—50,6	47,08
6:3	3	48,2—51,9	49,67		6	44,0—49,4	47,85
7:3	3	47,1—53,1	50,80		7	46,7—53,2	50,91
8:3	3	50,6—55,6	52,80		7	48,0—52,5	50,24

Промеры, мм	<i>D. kujalnikensis</i>				<i>D. polonica</i>		
	n	Lim	M		n	Lim	M
1. Альвеолярная длина $P_1-M_3$		14,3					
2. Альвеолярная длина $P_1-P_4$		6,3					
3. Альвеолярная длина $M_1-M_3$		7,8; 7,8				7,7	
4. Высота челюсти за $C$							
5. Высота челюсти за $P_2$		3,4; 3,9				4,0; 4,0	
6. Высота челюсти за $P_4$		3,7; 4,0		4		3,89—4,20	4,07
7. Высота челюсти за $M_1$	3	3,8—4,1	4,00	3		4,0—4,6	4,33
8. Высота челюсти за $M_3$	4	4,1—4,2	4,18	3		4,1—4,45	4,27
Индексы, %							
1:3		183,3					
2:3		80,8					
4:3							
5:3		43,6; 50,0					
6:3		47,4; 51,3				50,5	
7:3		48,7; 52,6				51,9	
8:3		52,6; 53,8				55,2	

тым талонидом на  $P_4$ , почти полностью поглощенным задним воротничком энтоконидом этого зуба, более расширенной коронкой последнего, **значительно** большими его абсолютными размерами и отсутствием параконидного вздутия на  $P_2$  и  $P_4$ .

Геологическое и географическое распространение. Поздний плиоцен Молдавии. Сопутствующая ассоциация мелких млекопитающих не известна. По всей вероятности, наиболее надежным является предположение о принадлежности к поздним ассоциациям хэпровского фаунистического комплекса.

ПОДРОД *GALEMODESMANA* TOPACHEVSKY ET PASCHKOV, 1983

*Desmana* (*Galemodesmana*) *kujalnikensis* sp. n. (рис. 4)

Голотип. Изолированный  $P^3$  (рис. 4, 1); местонахождение Черевичное на восточном берегу Хаджибейского лимана в 15 км севернее Одессы; средний костеносный горизонт, куяльницкие отложения, поздний плиоцен. Место хранения — коллекции отдела палеозоологии и палеонтологического музея Института зоологии им. И. И. Шмальгаузена АН УССР.

Таблица 2. Промеры верхнего клыка, премоляров и их индексы представителей

Промеры, мм и индексы, %		<i>D. jalpugensis</i>			<i>D. molda- vica</i>
		n	Lim	M	
C	Длина Ширина $\frac{2}{1} \times 100 \%$				
P <sub>1</sub>	Длина Ширина $\frac{2}{1} \times 100 \%$				
P <sub>2</sub>	Длина Ширина $\frac{2}{1} \times 100 \%$	4 4 4	2,5—2,75 1,8—2,05 72,0—75,5	2,61 1,94 74,1	
P <sub>3</sub>	Длина Ширина $\frac{2}{1} \times 100 \%$		1,8; 2,1 1,85; 1,7 102,8; 81,0		
P <sub>4</sub>	Длина Ширина $\frac{2}{1} \times 100 \%$	7 7 7	2,9—3,1 2,6—2,75 83,9—93,1	3,01 2,66 88,4	
	Длина P <sup>1</sup> — $\times 100 \%$ Длина C — $\times 100 \%$ Длина P <sup>2</sup> — $\times 100 \%$ Длина C — $\times 100 \%$ Длина P <sup>3</sup> — $\times 100 \%$ Длина C — $\times 100 \%$				
P <sub>1</sub>	Длина Ширина $\frac{2}{1} \times 100 \%$		1,7 1,5 88,2		
P <sub>2</sub>	Длина Ширина $\frac{2}{1} \times 100 \%$		2,6 1,65 63,5		2,7 1,8 66,7
P <sub>3</sub>	Длина Ширина $\frac{2}{1} \times 100 \%$				
P <sub>4</sub>	Длина Ширина $\frac{2}{1} \times 100 \%$		2,25 1,35 60,0		2,6 1,8 69,2
	Длина P <sub>2</sub> — $\times 100 \%$ Длина P <sub>4</sub> — $\times 100 \%$				103,8

Дополнительный материал. 1. Один фрагмент осевого черепа (не диагностичный), две поврежденные в различной степени горизонтальные ветви нижней челюсти, изолированные зубы: 1<sup>1</sup>—2, P<sup>4</sup>—2, M<sup>2</sup>—1, P<sub>2</sub>—1, P<sub>3</sub>—1, M<sub>1</sub>—4, M<sub>2</sub>—2, M<sub>3</sub>—1 из того же местонахождения, что и голотип. 2. Фрагмент черепа с альвеолами P<sup>2</sup>—P<sup>4</sup>, четыре фрагмента нижней челюсти без зубов, изолированные: P<sub>2</sub>—1, P<sub>3</sub>—1, P<sub>4</sub>—1, M<sub>2</sub>—1 из стратотипа куяльника — Крыжановки. Место хранения то же. 3. Фрагмент нижней челюсти с поврежденным M<sub>3</sub>, изолированные: P<sup>2</sup>—1, M<sup>1</sup>—2, P<sub>4</sub>—1, M<sub>1</sub>—2, M<sub>2</sub>—2, M<sub>3</sub>—1 из куяльнических горизонтов жеваховогорского разреза. Место хранения то же.

подродов *Pliodesmana* и *Galemodesmana*

<i>D. nehringi</i>			<i>D. kujalnikensis</i>			<i>D. polonica</i>		
n	Llm	M	n	Llm	M	n	Llm	M
	1,7; 1,85						1,66	
	1,2; 1,25						1,19	
	67,6; 70,6						71,7	
	1,6; 1,85						1,87; 1,87	
	1,25; 1,3						1,3; 1,37	
	70,3; 78,1						69,5; 73,3	
	2,55; 2,6			2,15; 2,4			2,66	
	1,8; 1,8			1,6; 1,7			1,8	
	69,2; 70,6			74,4; 70,8			67,7	
	2,1; 2,2			1,8; 1,9		3	1,44—1,69	1,57
	1,8; 1,88			1,9; 1,9		3	1,84—1,9	1,87
	85,7; 85,5			105,6; 100,0		3	112,4—127,8	119,5
	2,6			2,9; 3,1			2,63; 2,66	
	2,25			2,5; 2,8			2,41; 2,38	
	86,5			86,2; 90,3			91,6; 89,5	
	94,1; 100,0						112,7	
	140,5; 150,0							
	123,5							
				1,9				
				1,7				
				89,5				
5	2,0—2,15	2,09		2,2			2,07	
5	1,25—1,44	1,36		1,5				
5	62,5—68,9	64,9		68,2				
6	1,9—2,1	2,0		1,8; 2,05			1,82	
6	1,3—1,4	1,35		1,5; 1,6				
6	61,9—70,0	66,3		83,3; 78,0				
6	2,39—2,7	2,52	4	2,25—2,5	2,34	4	2,12—2,26	2,19
6	1,5—1,6	1,55	4	1,6—1,75	1,66		1,47; 1,54	
6	59,3—64,0	61,7	4	68,0—76,1	71,2		68,1; 72,6	
	79,6; 80,0						93,2	

**Диагноз** По абсолютным размерам (табл. 1), количеству корней  $P^2$ — $P^3$  и соотносительной длине  $P^1$  к  $C$  близка к *D. nehringi* Kotos, 1913. Однако  $P^3$  моляризован значительно слабее — протокон развит в меньшей степени, сильно сжат в продольном направлении, плотно прилегает к паракону и слабо представлен в рисунке стирания (рис. 4, 1a). Длина  $P^3$  меньше его ширины, либо примерно равна последней (табл. 2). Следы метаконида на  $P_4$  отсутствуют, хотя метакон-

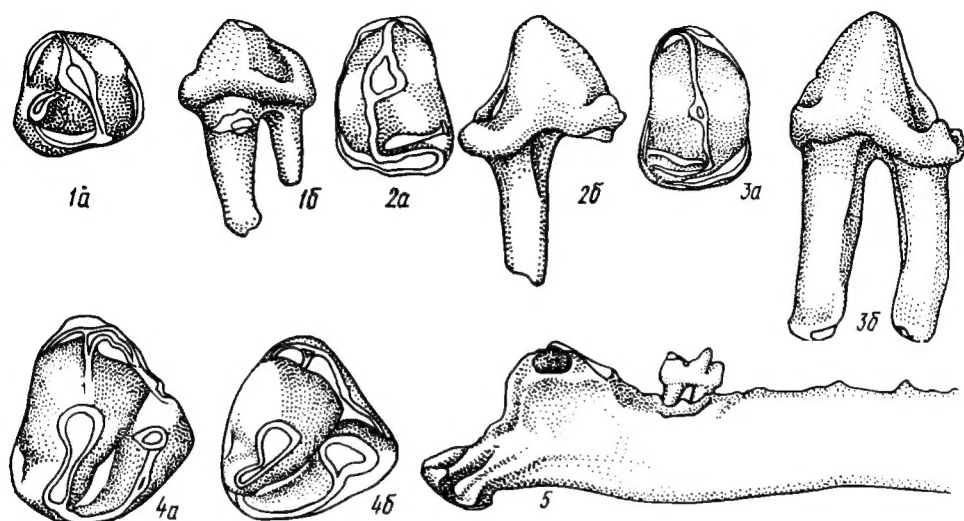


Рис. 4. *Desmana (Galeodesmana) kujalnikensis* sp. n.:

1 —  $P^3$ , голотип (Черевичное); 2 —  $P^4$  (Жевахова Гора); 3 —  $P^4$ , (Крыжановка); 4 —  $P^4$  (Черевичное); 5 — задняя часть горизонтальной ветви нижней челюсти с  $M_3$ , угловым отростком с лингвальной стороны (Черевичное); а — жевательная поверхность; б — лингвальная сторона.

нидное ребро обозначено (рис. 4, 2б). Параконид почти полностью редуцирован: очень слабо выраженный бугорок в основании протоконид, либо небольшое вздутие воротничка в этой области зуба (рис. 4, 2б). Энтоконид хорошо развит, обособлен от заднего воротничка, в отдельных случаях намечен гипоконид (рис. 4, 3а, б).

О п и с а н и е.  $P^2$ — $P^3$  по абсолютным размерам (длина) меньше таковых *D. nehringi* и относительно шире (табл. 2). Вместе с тем, длина  $P^4$  превосходит таковую *D. nehringi*. Все это, вероятно, свидетельствует об иных соотношениях длин  $P^2$  и  $P^4$  к  $S$ .  $P^2$ — $P^4$ , имея сходную с одноименными зубами *D. nehringi* длину, также оказываются относительно более широкими (табл. 2). Метакон на  $P^4$  поглощен задним гребнем паракона, входит в состав заднего режущего стиля, однако проявлен в рисунке стирания последнего в виде соответствующего расширения (рис. 4, 4). Кроме того, он, по-видимому, проявляет тенденцию к лабиальному смещению. Парастиль хорошо развит, а гипокон практически отсутствует. Протокон довольно крупный (рис. 4, 4).  $P^1$ , по-видимому, крупный, а  $P^3$  заметно короче  $P^2$ . Угловой отросток нижней челюсти с хорошо развитым краевым внутренним гребнем. Продольный гребень мощный, короткий, сразу переходящий в продольный валик. Однако имеется нижний дополнительный валик (рис. 4, 5).

С р а в н е н и е. От *D. nehringi* четко отличается слабее моляризованным, относительно коротким и широким  $P^3$ , сравнительно более широкими  $P^2$  и  $P^2$ — $P^4$ , слабее развитым параконидом и полным отсутствием метаконида на  $P^4$ , наличием дополнительного нижнего внутреннего валика на угловом отростке нижней челюсти. Он не гомологичен второму гребню на челюстях мошатного типа строения, поскольку в последнем случае имеет место развитие верхнего продольного гребня. Судя по абсолютным размерам, *D. kujalnikensis* имела также иные соотношения длин  $P^2$  и  $P^4$  к таковой  $S$ .

З а м е ч а н и я. *D. kujalnikensis*, будучи формой, несколько более древней по сравнению с *D. nehringi*, по степени редукции параконида и метаконида на  $P^4$ , а главное — сильному развитию заднего режущего стиля на  $P^4$  и степени усилении мест прикрепления жевательной мускулатуры на угловом отростке оказывается эволюционно более продвинутой, чем последняя, что, несомненно, соответствует общей схеме мозаич-



ной эволюции группы, описанной для *Praedesmana* и *Pliodesmana*. По всей вероятности, не являясь прямым предком ни *Pliodesmana*, ни, тем более, *Praedesmana*, первые представители которых оказываются уже сформировавшимися примерно в это время на территории Западной Европы — *D. tegelensis*, существование описываемой выхухолы может лишь указывать на параллелизм в специализациях в различных филумах рода. В то же время не исключена прямая филогенетическая связь этого вида с предшествующими ему во времени проблематичными *Galemodesmana*, близкими по размерам к *D. nehringi* понтотиммерийскими формами, прослеживающимися на территории юга европейской части СССР.

Геологическое и географическое распространение. Поздний плиоцен Западного Причерноморья СССР; будучи приурочена к типичным горизонтам верхнего кукляника, включая стратотип, входила в состав нижнежеваховогорской вилланийно-муридной, собственно кукляницкой вилланийно-крицетидной и среднечеревичанской вилланийно-плиомисной ассоциаций хাপровского фаунистического комплекса.

*Desmana (Galemodesmana) polonica* sp. n. (рис. 5)

1964: *Desmana nehringi*; Fejfar, P. 27—31, fig. 14—16. 1971: *Desmana nehringi*; RzebiK-Kowalska, P. 442—449, fig. 3—4. 1985: *Desmana nehringi*; Rümke, P. 202—204.

Голотип. Фрагмент черепа с  $C-P^1$ ; поздний плиоцен Польши; местонахождение Рембеллицы Крулевские, 16 бионона Мейна. Место хранения — Институт зоологической систематики и экспериментальной зоологии Польской Академии наук в Кракове (рис. 5, 1).

Дополнительный материал. Подробно описан и изображен из того же местонахождения, что и голотип (RzebiK-Kowalska, 1971), из местонахождения Гайначка в Южной Словакии; поздний плиоцен, 16 бионона Мейна (Fejfar, 1964).

Диагноз. По абсолютным размерам, количеству корней  $P^2-P^3$ , степени моляризации  $P^3$  и отношению его ширины к длине близка к *D. nehringi*. Однако  $P^1$  длиннее клыка. Какие-либо следы метаконид на  $P_4$  отсутствуют, хотя параконид развит сильнее (рис. 5, 2). Кроме того, для этого зуба характерен умеренно удлинённый талонид с хорошо выраженным, обособленным от заднего воротничка энтоконидом.

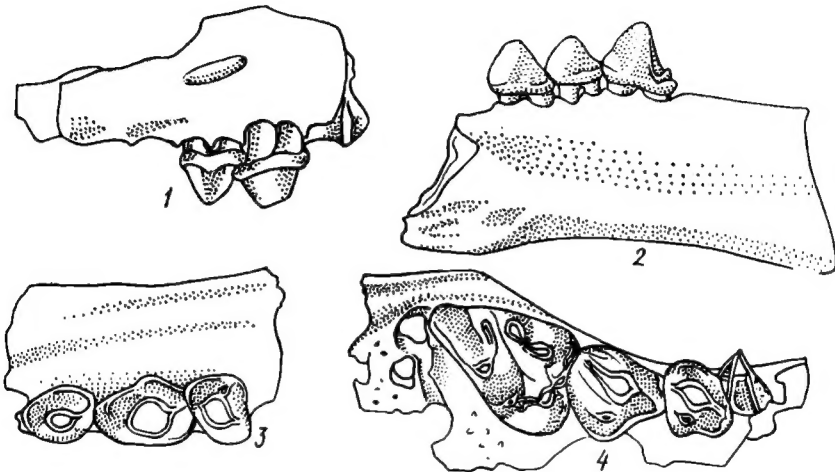


Рис. 5. *Desmana (Galemodesmana) polonica* sp. n.:

1 — голотип, фрагмент черепа с  $C-P^1$  с лабиальной стороны (Рембеллицы Крулевские, по RzebiK-Kowalska, 1971); 2 — фрагмент горизонтальной ветви нижней челюсти с  $P_2-P_4$  с лингвальной стороны (Гайначка, по Fejfar 1964); 3 — фрагмент черепа с  $P^1-P^3$  со стороны жевательной поверхности (Рембеллицы Крулевские, по RzebiK-Kowalska, 1971); 4 — фрагмент черепа с  $P^2-M^1$  со стороны жевательной поверхности (Рембеллицы Крулевские, по RzebiK-Kowalska, 1971).

**Описание.**  $P^2$  относительно длинный — отношение его длины к таковой  $C$ , видимо, приближается к 150 %. Очень крупный  $P^1$ , вероятно, в среднем относительно уже, чем у *D. nehringi* (табл. 2). Как и у последней, парастиль на  $P^3$  практически отсутствует — в этом отделе зуба имеется базальный воротничок (рис. 5, 3). Не исключено, что  $P^3$  может оказаться по отношению к  $P^2$  короче, чем у прочих видов подрода. Кроме того, он относительно уже, чем у *D. nehringi* и, тем более, у *D. kujalnikensis* (табл. 2). Сравнительно короткий  $P^4$  имеет метакон, который не проявлен в рисунке стирания заднего режущего стиля — он полностью поглощен задним гребнем паракона (рис. 5, 4). Гипокон отсутствует, а парастиль, видимо, недоразвит.  $P_3$ — $P_4$ , вероятно, относительно шире, чем у *D. nehringi* — отношение ширины к длине чаще приближается к 70 %. Кроме того,  $P_4$  имеет относительно короткую коронку, длина которой не превышает соответствующих показателей у *D. nehringi*.

**Сравнение.** От всех известных видов подрода четко отличается очень крупным  $P^1$ , длина которого превышает таковую  $C$ . У всех прочих представителей подрода  $P^1$  короче  $C$ . Кроме того, от *D. nehringi* четко отличается более мощным параконидом и отсутствием каких-либо следов метаконида на  $P_4$ . Другие отличия между этими видами достаточно подробно обсуждены при описании.

От *D. kujalnikensis* отличается относительно более широким  $P^3$  (табл. 2), отсутствием каких-либо проявлений метакона в рисунке стирания заднего режущего стиля  $P^4$ , более слабым развитием парастилиа на этом зубе, а также более мощным параконидом на  $P_4$ .

**Замечания.** Описанный вид, по всей вероятности, представляет собой одну из наименее эволюционно продвинутых форм подрода, о чем свидетельствуют крупные размеры  $P^1$  и  $P^2$ , наличие трех корней на  $P^2$ ,  $P^3$  наряду с высокой степенью моляризации последнего. Примитивными чертами строения характеризуется также  $P^4$ , в заднем режущем стиле которого отсутствуют какие-либо следы метакона. Вместе с тем, на  $P_4$ , наряду с примитивными признаками — сильное развитие параконида и энтокониды, наблюдается полная редукция метаконида. По этой причине *D. polonica* не может рассматриваться в ряду предков для геологически более поздних западноевропейских видов этого подрода.

**Геологическое и географическое распространение.** Поздний плиоцен Центральной Европы (Польша, Чехословакия). Входила в состав ассоциаций мелких млекопитающих древнего виллания — 16б бионона Мейна.

Гуреев А. А. Насекомоядные. — Л.: Наука, 1979. — 502 с. — (Фауна СССР. Млекопитающие; Т. 4. Вып. 2).

Топачевський В. О. Випокні вихухолі роду *Desmana* з неогенових та антропогенових відкладів європейської частини СРСР // Випокні фауни України та суміжних територій. — К.: Наук. думка, 1962. — Вип. 1. — С. 7—90.

Топачевський В. А., Пашков А. В. Надвидова систематика вихухолей рода *Desmana* (Insectivora, Talpidae) // Вестн. зоологии. — 1983. — № 3. — С. 39—45.

Топачевський В. А., Пашков А. В. Новые представители рода *Desmana* (Insectivora, Talpidae) из эоплейстоценовых отложений юга европейской части СССР // Там же. — 1990. — № 1. — С. 28—38.

Fejfar O. The Lower Villafranchian vertebrates from Hajnacka near Filakovo in Southern Slovakia // Rozpr. Ustř. Ust. geol. — 1964. — 30. — P. 27—31.

Kormos T. Zur naheren Kenntnis der oberpliocenen Bisamspitzmause Sudungarns // Festschr. 60. Geburtstag E. Strand. — 1938. — 4. — P. 163—180.

Rzebik-Kowalska B. The Pliocene and Pleistocene insectivores (Mammalia) of Poland // Acta zool. Cracov. — 1971. — 16, N 9. — P. 435—461.

Rumke C. A review of fossil and recent Desmaninae (Talpidae, Insectivora) // Utrecht micropaleont. Bull. Spec. publ. — 1985. — 4. — P. 241.

Schreuder A. A revision of the fossil water-moles (Desmaninae) // Arch. neerl. zool. — 1940. — 4. — P. 201—333.

Институт зоологии им. И. И. Шмальгаузена АН УССР (Киев)

Получено 29.12.89

Англ. резюме см. на с. 40.